

напряжений k_2 и k_3 от угла ψ незначительна. В то же время зависимость k_1 от угла ψ более существенна. Если $b/a = 0,02$, то значение коэффициентов интенсивности напряжений в точках пересечения меньшей полуоси с контуром трещины при рассматриваемых расстояниях между трещинами мало отличается от коэффициента интенсивности напряжений, когда имеется термоизолированная полосовидная трещина в бесконечном теле, нагруженном аналогичными нагрузками. Видно, что k_1 принимает наибольшее значение, когда $b/a = 1$ и $\psi = \frac{\pi}{2}$ (трещины соосные).

Отметим, что в случае одной эллиптической трещины, нагруженной сдвигающими усилиями, полученные результаты совпадают с известными в работе [5].

1. Кит Г. С. Общий метод решения пространственных задач теплопроводности и термоупругости для тела с дискообразными трещинами.— Прикл. механика, 1977, 13. № 12, с. 18—24.
2. Кит Г. С., Хай М. В. Интегральные уравнения пространственных задач теплопроводности для тел с трещинами.— Докл. АН УССР. Сер. А, 1975, № 8, с. 704—707.
3. Кит Г. С., Хай М. В. Интегральные уравнения пространственных задач термоупругости для тел с трещинами.— Докл. АН УССР. Сер. А, 1975, № 12, с. 1108—1112.
4. Кит Г. С., Хай М. В., Лаушник И. П. Первая основная задача теории упругости для тела с дискообразными трещинами.— Мат. методы и физ.-мех. поля, 1978, вып. 7, с. 26—32.
5. Разрушение.— М.: Мир, 1975.— Т. 2.— 364 с.
6. Хай М. В. О решении задач термоупругости для тел с плоскими трещинами, контур которых описывается кривой второго порядка.— Мат. методы и физ.-мех. поля, 1980, вып. 11, с. 80—85.

Институт прикладных проблем механики и математики АН УССР

Поступила в редколлегию 14.01.80

УДК 539.377

В. И. Громовык, М. С. Яворский

НЕУСТАНОВИВШИЕСЯ ТЕМПЕРАТУРНОЕ ПОЛЕ И НАПРЯЖЕНИЯ В ПОЛОСЕ-ПЛАСТИНКЕ ПРИ ЛОКАЛЬНОМ НАГРЕВЕ

Пусть в области $R - h \leq x \leq R + h$, $|z| \leq \delta$ бесконечной однородной полосы-пластинки ширины $2l$ и толщины 2δ действуют источники тепла мощностью q . Поверхности $x = \pm l$ пластинки предполагаются теплоизолированными и свободными от внешней нагрузки, а через поверхности $z = \pm \delta$ происходит теплообмен с внешней средой нулевой температуры, причем коэффициент теплоотдачи есть кусочно-постоянная функция координаты $\alpha(x) = \alpha_1 + (\alpha_0 - \alpha_1) N(x)$. Здесь α_0 — коэффициент теплоотдачи с части $R - h \leq x \leq R + h$ боковых поверхностей $z = \pm \delta$; α_1 — коэффициент теплоотдачи с остальной части этих поверхностей; $N(x) = S_-(x - R + h) - S_+(x - R - h)$; $S_{\pm}(\xi)$ — асимметричные единичные функции.

Неустановившееся температурное поле определим из уравнения теплопроводности

$$\frac{\partial^2 T}{\partial x^2} - \frac{\alpha(x)}{\lambda \delta} T = \frac{1}{a} \frac{\partial T}{\partial \tau} - \frac{q}{\lambda} N(x),$$

которое при аналогичных работе [2] допущениях запишется в виде

$$\frac{\partial^2 T}{\partial x^2} - \kappa^2 T = (MT|_{x=R} - Q) \frac{\delta(x-R)}{\Lambda} + \frac{1}{a} \frac{\partial T}{\partial \tau}, \quad (1)$$

где $\kappa^2 = \alpha_1/\lambda\delta$; $M = 4\alpha_0 h(1 - \alpha_1/\alpha_0)$; $Q = 4h\delta q$; $\Lambda = 2\lambda\delta$;

$\delta(x-R) = \lim_{h \rightarrow 0} \frac{S_-(x-R+h) - S_+(x-R-h)}{2h}$ — дельта-функция Дирака; λ ,

a — коэффициенты теплопроводности и температуропроводности; τ — время.

Применяя к уравнению (1) и граничным условиям $\frac{\partial T}{\partial x} \Big|_{x=\pm l} = 0$ интегральное преобразование Лапласа по переменной τ с учетом $\bar{T} \Big|_{\tau=0} = 0$, находим

$$\frac{d^2 \bar{T}}{dx^2} - \gamma^2 \bar{T} = \left(M \bar{T} \Big|_{x=R} - \frac{Q}{s} \right) \frac{\delta(x-R)}{\Lambda}, \quad (2)$$

$$\frac{d \bar{T}}{dx} \Big|_{x=\pm l} = 0, \quad (3)$$

где

$$\bar{T} = \int_0^{\infty} T e^{-s\tau} d\tau; \quad \gamma^2 = \kappa^2 + \frac{s}{a}.$$

Общее решение уравнения (2) ищем в виде

$$\bar{T}(x, s) = C \operatorname{ch} \gamma x + D \operatorname{sh} \gamma x + \frac{Q - M \bar{T} \Big|_{x=R}}{2\Lambda \gamma} e^{-|x-R| \gamma}. \quad (4)$$

Отсюда определяем $\bar{T} \Big|_{x=R}$ и с помощью условий (3) находим постоянные интегрирования C и D и получаем искомое решение уравнения (2) в виде

$$\bar{T}(x, s) = \frac{Q [\operatorname{ch} \gamma (x+R) + \operatorname{ch} \gamma (2l - |x-R|)]}{s [2\Lambda \gamma \operatorname{sh} 2\gamma l + M (\operatorname{ch} 2\gamma l + \operatorname{ch} 2\gamma R)]}. \quad (5)$$

Перейдя здесь по формуле обращения к оригиналу, используя при этом теорему разложения [3], для определения нестационарного температурного поля в пластинке найдем выражение

$$\theta = \frac{\lambda T}{2q\delta^2} = H \left\{ \frac{\operatorname{ch} [(X+P)\sqrt{\operatorname{Bi}}] + \operatorname{ch} [(2L - |X-P|)\sqrt{\operatorname{Bi}}]}{2[\sqrt{\operatorname{Bi}} \operatorname{sh} 2B + H(\operatorname{Bi}_0 - \operatorname{Bi})(\operatorname{ch} 2B + \operatorname{ch} 2B_R)]} - 2L \sum_{n=1}^{\infty} A_n \exp \left[-\operatorname{Fo} \left(\frac{\mu_n^2}{4L^2} + \operatorname{Bi} \right) \right] \right\}. \quad (6)$$

Здесь

$$A_n = \frac{\mu_n \left[\cos \left(\frac{X+P}{2L} \mu_n \right) + \cos \left(\frac{2L - |X-P|}{2L} \mu_n \right) \right]}{(\mu_n^2 + 4L^2 \operatorname{Bi}) \left[\sin \mu_n + \mu_n \cos \mu_n + 2H(\operatorname{Bi}_0 - \operatorname{Bi}) \left(L \sin \mu_n - P \sin \frac{P}{L} \mu_n \right) \right]};$$

μ_n — корни характеристического уравнения

$$\mu \sin \mu - 2HL(\operatorname{Bi}_0 - \operatorname{Bi}) \left(\cos \mu + \cos \frac{P}{L} \mu \right) = 0;$$

$$\operatorname{Bi} = \alpha_1 \delta / \lambda; \quad \operatorname{Bi}_0 = \alpha_0 \delta / \lambda; \quad B = L \sqrt{\operatorname{Bi}}; \quad B_R = P \sqrt{\operatorname{Bi}}; \quad X = x / \delta;$$

$$P = R / \delta; \quad L = l / \delta; \quad H = h / \delta; \quad \operatorname{Fo} = a\tau / \delta^2.$$

Поскольку рассматриваемая полоса-пластинка свободна от внешней нагрузки, а температура изменяется лишь по ее ширине, то температурные напряжения определим по формуле [1]

$$\sigma_y = \frac{\sigma_{yy} \lambda}{2\alpha_1 E q \delta^2} = -\theta + \frac{1}{2L} \int_{-L}^L \theta dX + \frac{3X}{2L^3} \int_{-L}^L \theta X dX, \quad (7)$$

где E , α_1 — модуль упругости и температурный коэффициент линейного расширения. Подставляя сюда выражение (6), находим

$$\sigma_y = H \times \left\{ \frac{(LB + 3XB_R) \operatorname{sh} 2B - 6X \operatorname{sh} B \operatorname{sh} B_R - L^2 B [\operatorname{ch} (X+P)\sqrt{\operatorname{Bi}} + \operatorname{ch} (2L - |X-P|)\sqrt{\operatorname{Bi}}]}{2L^2 [\sqrt{\operatorname{Bi}} \operatorname{sh} 2B + H(\operatorname{Bi}_0 - \operatorname{Bi})(\operatorname{ch} 2B + \operatorname{ch} 2B_R)]} + 2 \sum_{n=1}^{\infty} B_n \exp \left[-\operatorname{Fo} \left(\frac{\mu_n^2}{4L^2} + \operatorname{Bi} \right) \right] \right\}, \quad (8)$$

где

$$B_n = \frac{\mu_n^2 L \left(\cos \frac{X+P}{2L} \mu_n - \cos \frac{2L-|X-P|}{2L} \mu_n \right) - \frac{2\mu_n}{L} (1 + 3XP \sin \mu_n) + 24X \sin \frac{\mu_n}{2} \sin \frac{P}{2L} \mu_n}{\mu_n (\mu_n^2 + 4L^2 \text{Bi}) \left[\sin \mu_n + \mu_n \cos \mu_n + 2H (\text{Bi}_0 - \text{Bi}) \left(L \sin \mu_n + P \sin \frac{P}{L} \mu_n \right) \right]}$$

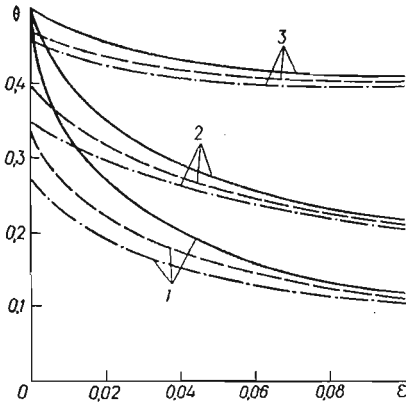


Рис. 1

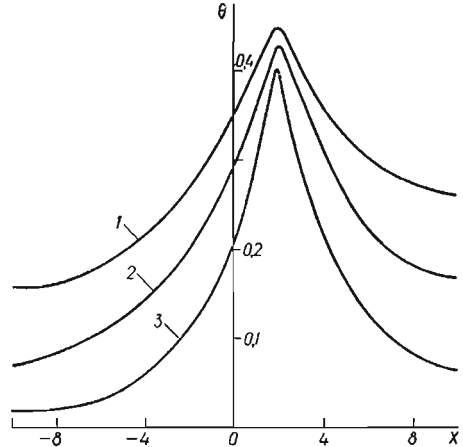


Рис. 2

Устремив в выражениях (6) и (8) $\text{Fo} \rightarrow \infty$, получим решение стационарной задачи теплопроводности и термоупругости, совпадающее с приведенным в работе [2].

Для случая $\text{Bi}_0 = \text{Bi}$ решение поставленной краевой задачи записывается в виде

$$\frac{\theta}{H} = \frac{1 - e^{-\text{Bi} \text{Fo}}}{2L \text{Bi}} + 2L \sum_{k=1}^{\infty} A_k \left\{ 1 - \exp \left[-\text{Fo} \left(\text{Bi} + \frac{\pi^2 k^2}{4L^2} \right) \right] \right\}, \quad (9)$$

а напряжения будем вычислять по формуле

$$\sigma_y = \sum_{k=1}^{\infty} B_k \left\{ 1 - \exp \left[-\text{Fo} \left(\text{Bi} + \frac{\pi^2 k^2}{4L^2} \right) \right] \right\}, \quad (10)$$

где

$$A_k = (-1)^k \left[\cos \frac{\pi k (X+P)}{2L} + \cos \frac{\pi k (2L-|X-P|)}{2L} \right] (4L^2 \text{Bi} + \pi^2 k^2)^{-1};$$

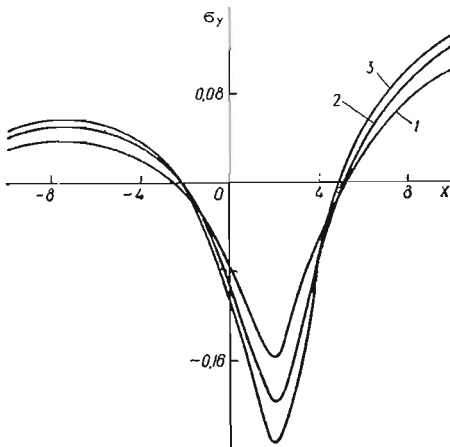


Рис. 3

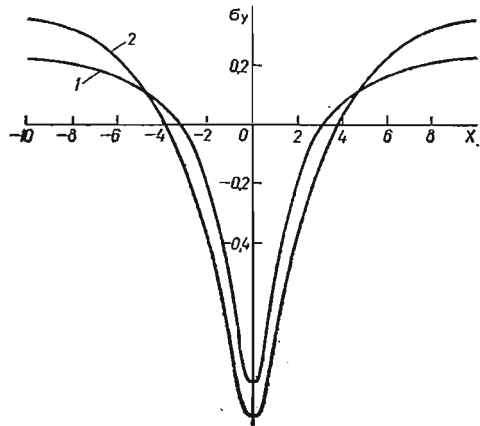


Рис. 4

$$B_k = (-1)^{k+1} \left\{ 48HX \sin \frac{\pi k}{2} \sin \frac{\pi k P}{2L} + 2HL\pi^2 k^2 \left[\cos \frac{\pi k (X+P)}{2L} + \cos \frac{\pi k (2L - |X-P|)}{2L} \right] \right\} [\pi^2 k^2 (4L^2 Bi + \pi^2 k^2)]^{-1}.$$

По формулам (6), (8) и (10) проведены вычисления, результаты которых представлены на рис. 1—5. При вычислениях по формулам (6) и (8) принимали $L = 10$, $H = 1$, $Bi_0 = 1$, $P = 2$, а по формуле (10) — $L = 10$, $H = 1$, $P = 0$, $Bi = Bi_0 = 0,1$.

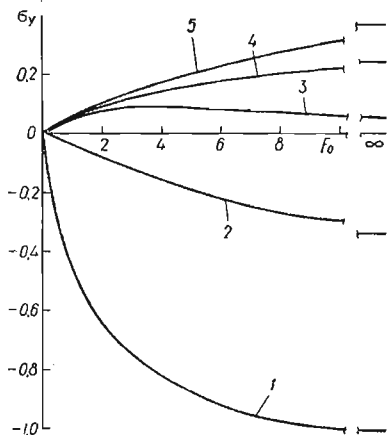


Рис. 5

На рис. 1 показана зависимость безразмерного температурного поля θ от величины $\epsilon = Bi/Bi_0$ в сечениях $X = -2; 0; 2$ (кривые 1—3) для $Fo = 30; 50; \infty$ (штрихпунктирная, штриховая и сплошная линии соответственно). На рис. 2 показано распределение функции θ по ширине полосы-пластинки в установившемся тепловом режиме при $\epsilon = 0,02; 0,04; 0,1$ (кривые 1—3). На рис. 3 дано распределение напряжений σ_y по ширине полосы при $Fo = 30; \epsilon = 0,02; 0,04; 0,08$ (кривые 1—3). Распределение напряжений по ширине полосы при центральном расположении источника тепла для значений $Fo = 6; \infty$ (кривые 1, 2) приведено на рис. 4, а в зависимости от безразмерного времени Fo в сечениях $X = 0; 2; 4; 6; 10$ (кривые 1—5) — на рис. 5.

Из графиков видно, что с увеличением коэффициента теплоотдачи со свободной от нагрева поверхности пластинки температурное поле в каждой ее точке уменьшается. Температурные напряжения как в случае центрального расположения источников тепла, так и в случае внецентрального их расположения достигают максимального значения при $x = R$. С увеличением параметра ϵ они уменьшаются. В области действия источников тепла возникают напряжения сжатия, а в удаленных от центра действия источников сечениях на величину $b > 3,3H$ — напряжения растяжения (см. рис. 4).

1. Боли Б., Уэйнер Дж. Теория температурных напряжений.— М.: Мир, 1964.— 517 с.
2. Коляно Ю. М., Громык В. И. Влияние переменной теплоотдачи на напряжения в пластинках, обусловленные источниками тепла.— Прикл. механика, 1976, 12, № 12, с. 100—104.
3. Лыков А. В. Теория теплопроводности.— М.: Высш. школа, 1967.— 599 с.

Институт прикладных проблем механики и математики АН УССР

Поступила в редколлегию 19.11.79

УДК 539.3

В. И. Елейко

СТОХАСТИЧЕСКИЕ КОЛЕБАНИЯ КРУГЛОЙ ПЛАСТИНЫ, ВОЗБУЖДЕННЫЕ ТЕПЛОМ УДАРОМ

Рассмотрим круглую пластину радиуса r_2 , к поверхности $z = h/2$ которой внезапно подводится тепловой поток со случайной плотностью [2]

$$q(\tau) = q^{(0)} + \epsilon A_q q^{(1)}(\tau), \quad (1)$$

где $q^{(0)}$ — среднее значение плотности теплового потока; $q^{(1)}$ — стохастическая функция времени с равным нулю математическим ожиданием и вероятностью единица непрерывно-дифференцируемыми реализациями; ϵ — малый параметр; A_q — постоянная величина. Поверхность $z = -h/2$ пластины и